

CHAPITRE MI6

Mouvements dans un champ de gravitation newtonien

➤ Problématique



FIGURE 1 : Planètes du système solaire

Planètes du système solaire : tournent autour du soleil avec une **trajectoire et une période propre** à chacune d'elles. Mvts décrits par les 3 lois de Kepler, déduites d'observations astronomiques.

Questions : **Comment justifier ces lois ?**

Lois transposables aux satellites terrestres ?

1 Champ de gravitation newtonien

1.1 Force centrale

➤ Définition : M est soumis à une **force centrale**

$$\vec{F} = F(r)\vec{u}_r \quad \text{avec} \quad \vec{u}_r = \frac{\overrightarrow{OM}}{r}$$

O : centre de force

➤ Conséquences

- Intensité $F(r)$ ne dépend que de la **distance** r
- Moment par rapport au point O est **nul**

➤ Interaction gravitationnelle

$$\vec{F}^{grav} = -\frac{Gm_0m}{r^2}\vec{u}_r = F(r)\vec{u}_r$$

$$F(r) = -\frac{Gm_0m}{r^2}$$

Force centrale

1.2 Champ de force newtonien

➤ Expression générale

Champ de force: force dépend de la position

Définition : Champ de force newtonien

$$F(r) = -\frac{K}{r^2}$$

$K > 0$: attractif $K < 0$: répulsif

➤ Interaction gravitationnelle

$$\vec{F}^{\text{grav}} = -\frac{Gm_0m}{r^2}\vec{u}_r = -\frac{K}{r^2}\vec{u}_r$$

$$K = Gm_0m > 0$$

Champ de force newtonien attractif

1.3 Énergie potentielle associée

➤ Énergie potentielle gravitationnelle

$$E_{P,grav}(r) = -\frac{Gm_0m}{r} = -\frac{K}{r}$$

➤ Champ newtonien conservatif

Propriété :

Chp de force newtonien est conservatif et dérive
de l'énergie potentielle

$$E_P = -\frac{K}{r}$$

2 Conservation du moment cinétique

2.1 Théorème du moment cinétique

➤ Th MC

➤ Propriété :

moment cinétique se conserve

$$\vec{L}_O(M)_{\mathcal{R}_E} = \vec{L}_O$$

$$\vec{L}_O = \vec{OM}_0 \wedge m\vec{v}_0 = \text{cste}$$



2.2 Conséquence 1 : planéité de la trajectoire

➤ Propriété :

➤ Remarque



2.3 Conséquence 2 : loi des aires

➤ Constante des aires

Définition : C : constante des aires

$$C = r^2 \dot{\theta} = cste \quad (\text{m}^2 \cdot \text{s}^{-1})$$



C : 1^{ère} cste du mvt, fixée par les C.I.

Expression de C :

$$C = r_0^2 \dot{\theta}_0 = \frac{\|\vec{L}_0\|}{m}$$

➤ Cas d'un mouvement circulaire

Mouvement circulaire uniforme

➤ Loi des aires

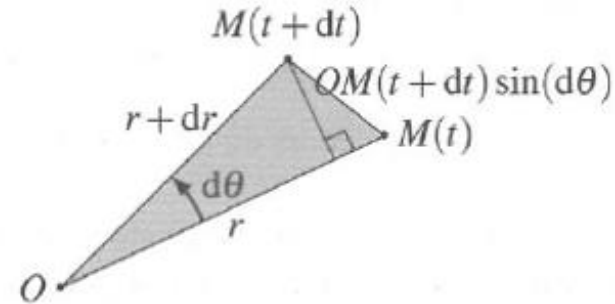
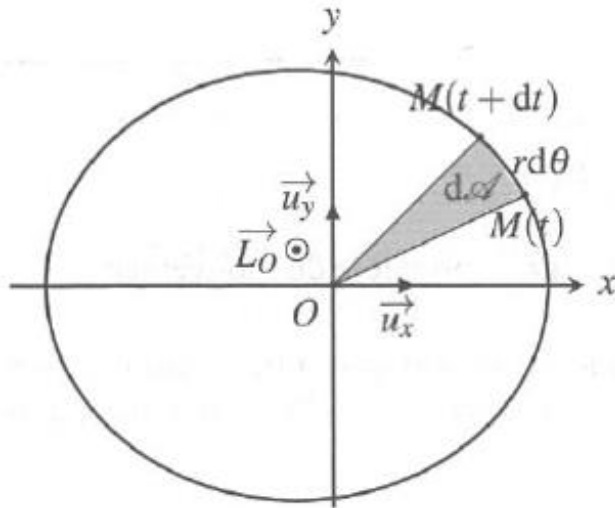


FIGURE 2 : Aire $d\mathcal{A}$ balayée par le vecteur \overline{OM} pendant dt

Loi des aires : Ds mvt à force centrale :

- l'aire balayée par le vecteur position entre 0 et t est **proportionnelle** au temps.
- le vecteur position balaye des **aires égales** en des **intervalles de temps égaux**.



➤ Vitesse aréolaire
Définition

$$v = \frac{d\mathcal{A}}{dt} = \frac{1}{2}C = \frac{1}{2}r^2\dot{\theta}$$

3 Conservation de l'énergie mécanique

3.1 Énergie mécanique en coordonnées polaires

- Hypothèse
- Expression de l'énergie mécanique

Propriété

E_m fixée par les C.I.

E_m : 2^{ème} cste du mouvement

Mvt plan : coordonnées polaires: r et θ

$$E_m = E_C + E_P = \frac{1}{2} m \dot{r}^2 + \frac{1}{2} m r^2 \dot{\theta}^2 + E_P(r)$$



3.2 Énergie potentielle effective



- M a 2 degrés de liberté dans le plan de sa trajectoire : r et θ
- Énergie cinétique

- énergie cinétique radiale :

$$E_c^{radiale}(\dot{r}) = \frac{1}{2} m \dot{r}^2 = \frac{1}{2} m v_r^2$$

- énergie cinétique orthoradiale ou de rotation

$$E_c^{rotation} = \frac{1}{2} m r^2 \dot{\theta}^2 = \frac{1}{2} m v_\theta^2$$

$$E_c^{rotation}(r) = \frac{1}{2} m \frac{C^2}{r^2}$$

➤ Énergie mécanique

$$E_m = E_C^{radiale}(\dot{r}) + E_{Peff}(r)$$

➤ Définition : Énergie potentielle effective

$$E_{Peff}(r) = E_C^{rotation}(r) + E_P(r) = \frac{1}{2} m \frac{C^2}{r^2} + E_P(r)$$

➤ Propriété

mouvement radial à 1 degré de liberté

➤ Mouvement radial de M

domaines possibles du mvt radial : $E_m \geq E_{Peff}(r)$



4 Mouvements des planètes et des satellites

4.1 Étude qualitative des trajectoires

➤ Retour à la problématique

Force d'attraction gravitationnelle

$$\vec{F} = -\frac{GM_S m}{r^2} \vec{u}_r = -\frac{K}{r^2} \vec{u}_r \text{ avec } K = GM_S m$$

➤ Énergie potentielle gravitationnelle

$$E_P(r) = -\frac{GM_S m}{r} = -\frac{K}{r}$$

➤ Constantes du mouvement

$$\begin{cases} C = r^2 \dot{\theta} = cste \\ E_m = \frac{1}{2} m \dot{r}^2 + E_{Peff} = cste \end{cases}$$

➤ Étude qualitative du mouvement radial

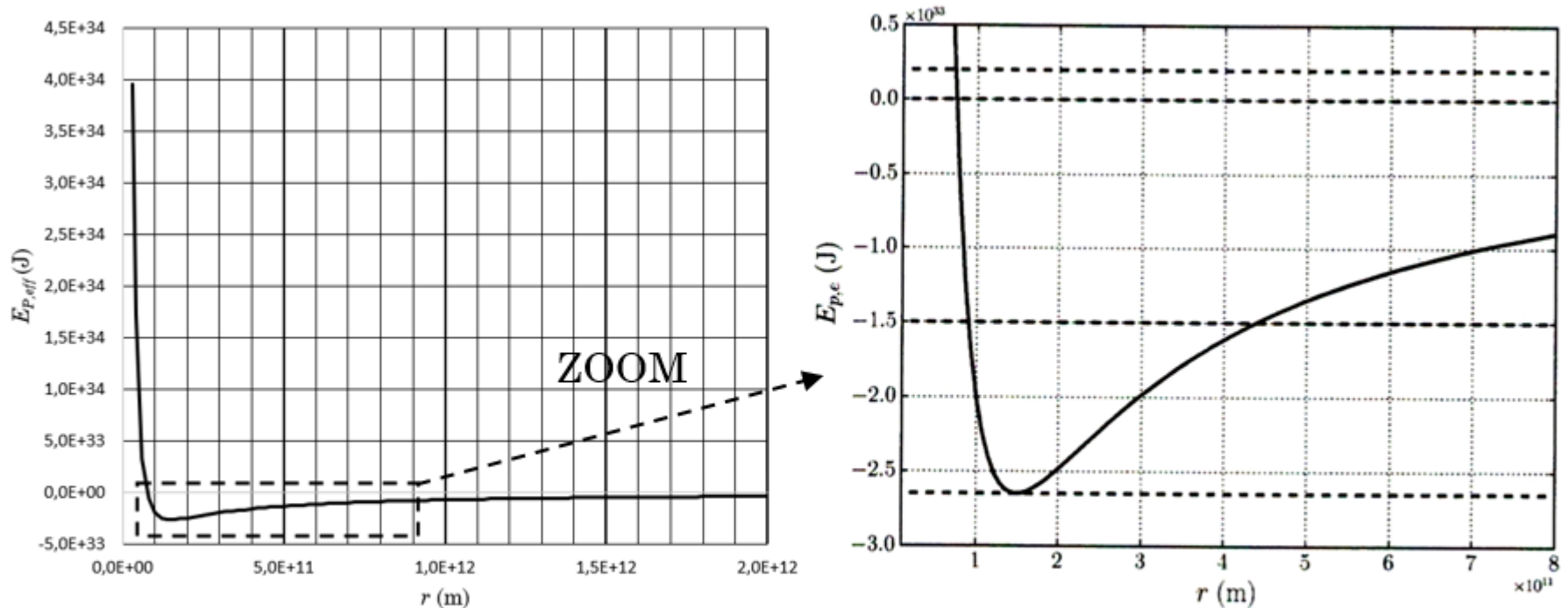
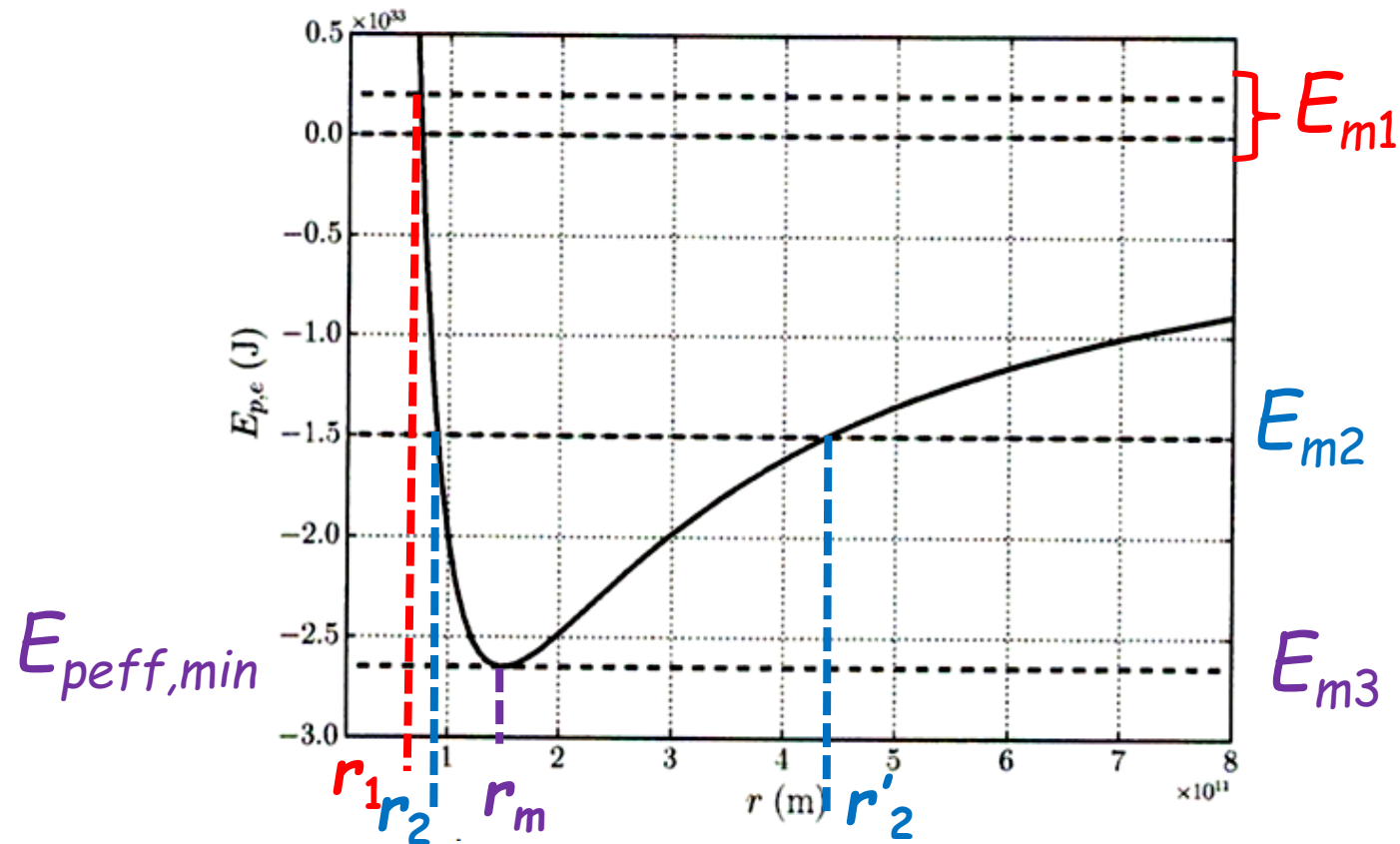


FIGURE 3 : Énergie potentielle effective de la Terre (à droite : zoom rectangulaire)
($m = 6,0 \cdot 10^{24}$ kg et $C = 4,46 \cdot 10^{15} \text{ m}^2 \cdot \text{s}^{-1}$)

4 Mouvements des planètes et des satellites

4.1 Étude qualitative des trajectoires



➤ Retour à la problématique

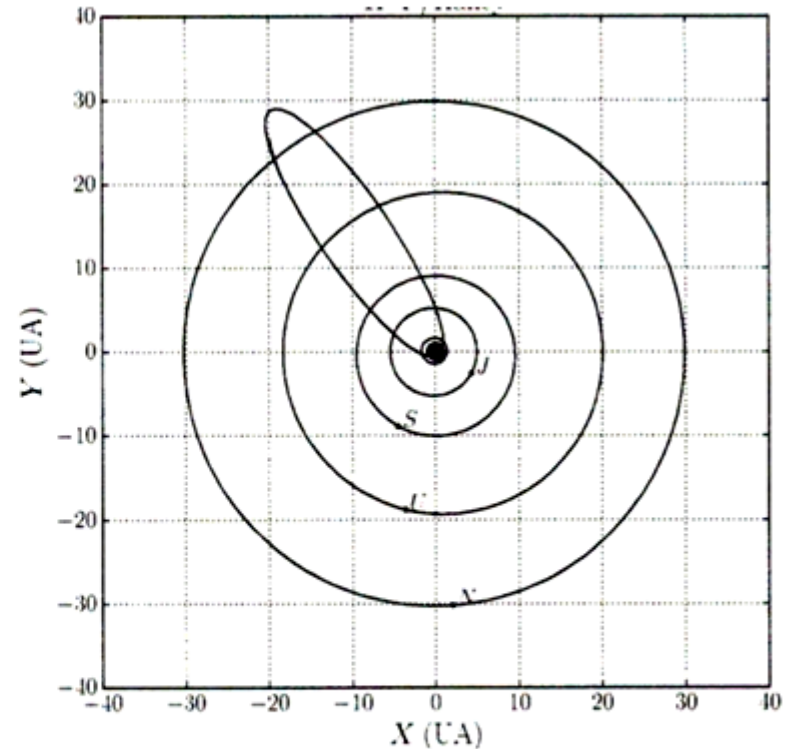
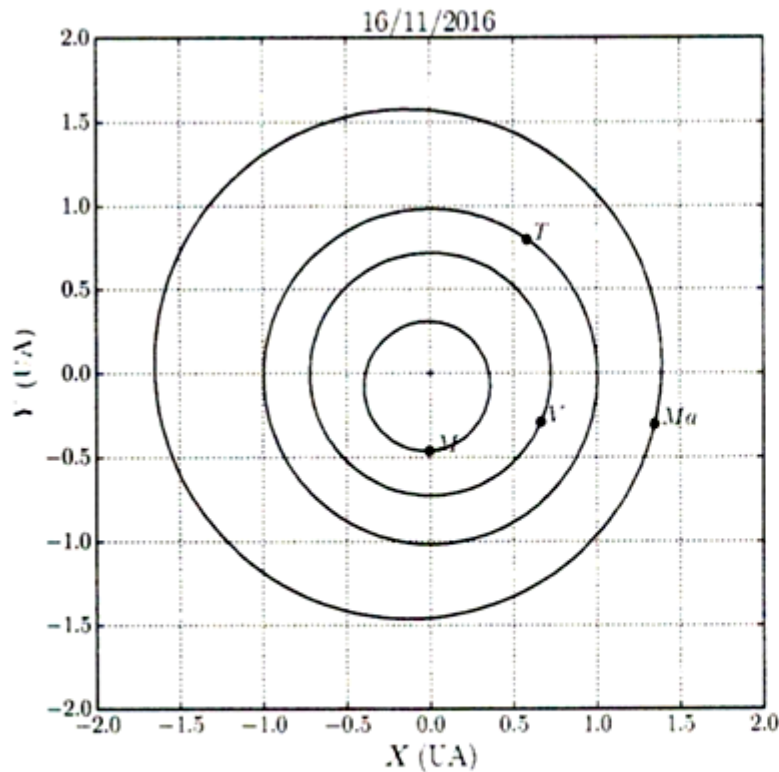


FIGURE 4 : Allure des trajectoires des planètes du système solaire
et de la comète de Halley ($1 \text{ UA} = 1 \text{ ua} \approx 1,5 \cdot 10^{11} \text{ m}$)

➤ Allure des trajectoires

Animation 1 : Figures animées pour la physique / Mécanique / Planètes /
Nature de la trajectoire

http://www.sciences.univ-nantes.fr/sites/genevieve_tulloue/Meca/Planetes/Nature_F.php

Trajectoires = famille des **coniques**

Équation polaire

$$r = \frac{p}{1 + e \cos \theta}$$

e : excentricité, p : paramètre

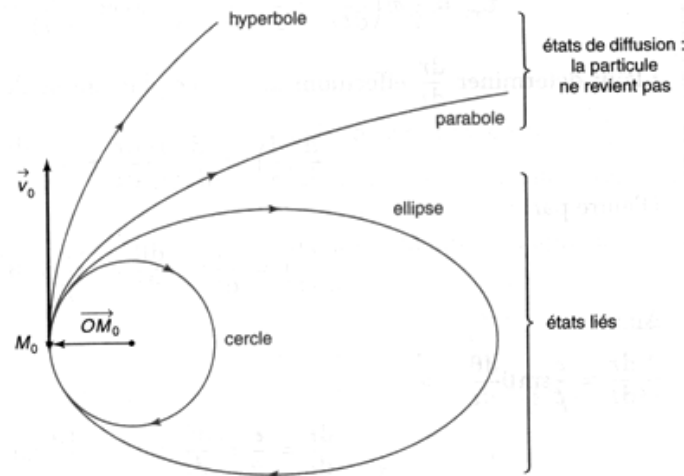


FIGURE 5 : Trajectoires d'un point M mis en mouvement à partir de la même position initiale M_0 mais avec des **vitesse**s **initiales** v_0 **croissantes**, i.e. pour des valeurs croissantes de l'énergie mécanique E_m .

4.2 Étude des trajectoires circulaires

- Expression de la vitesse d'une planète en orbite circulaire autour du Soleil

$$v = \sqrt{\frac{GM_s}{R}} = cste$$

- Expression de la période

3^{ème} loi de Kepler

$$\frac{T^2}{R^3} = \frac{4\pi^2}{GM_s}$$

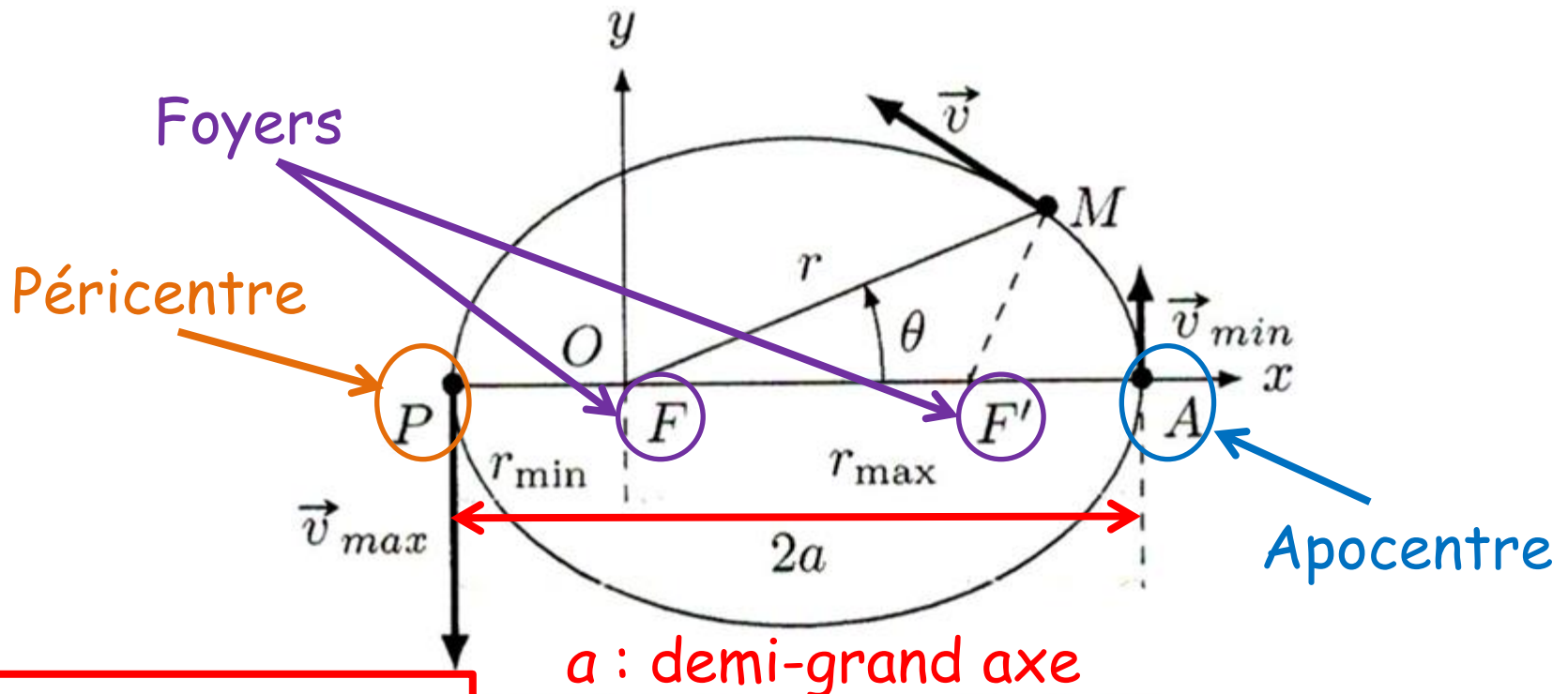
- Expression de l'énergie mécanique

$$E_m = -\frac{K}{2R} = -\frac{GM_s m}{2R} < 0$$

$$E_m = \frac{1}{2} E_P = -E_C^{rotation}$$

4.3 Étude des trajectoires elliptiques

➤ Caractéristique d'une ellipse



a : demi-grand axe

FIGURE 6 : Trajectoire elliptique

$$r_{\min} + r_{\max} = 2a$$

➤ Vitesse angulaire

Propriété

$$\omega_P > \omega_A$$

➤ Vecteur vitesse

Propriété

$$U_P > U_A$$

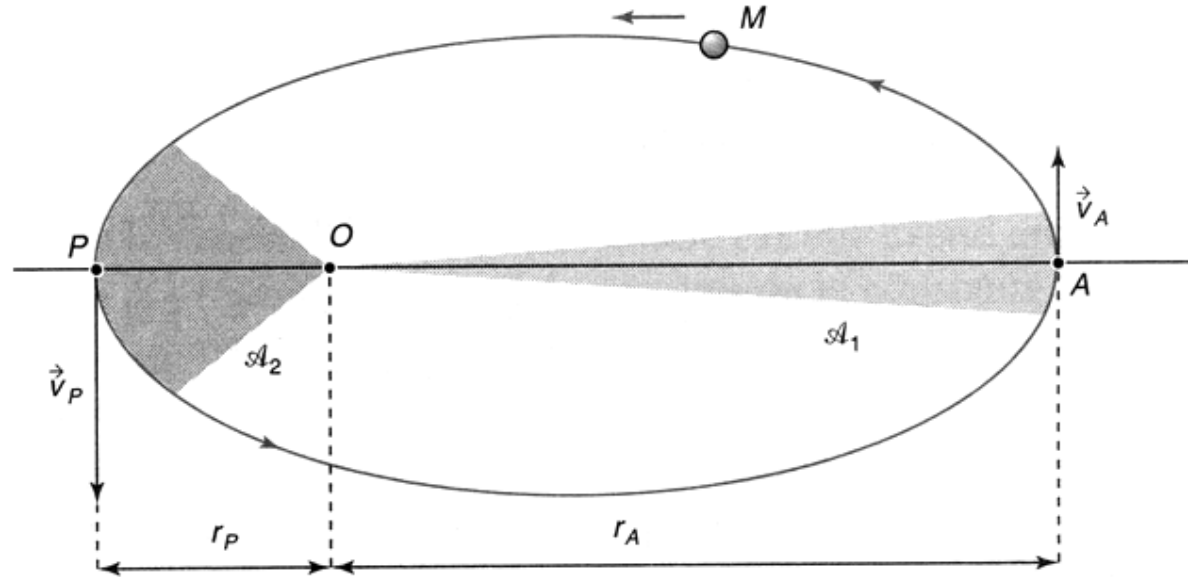


FIGURE 7 : Péricentre (P) et apocentre (A)

Animation 2 : Physique et simulations numériques / Mécanique / Dynamique / Force centrale (2)

<http://subaru.univ-lemans.fr/enseignements/physique/02/meca/forcentrale.html>

Animation 3 : Physique et simulations numériques / Divers / Cosmographie / Lois de Kepler

<http://subaru.univ-lemans.fr/enseignements/physique/02/divers/planete.html>

➤ Expression de l'énergie mécanique

$$E_m = -\frac{GM_s m}{2a} = -\frac{K}{2a} < 0$$



Généralisation pour une trajectoire elliptique :

rayon du cercle R remplacé par
le demi-grand axe a de l'ellipse

➤ Expression de la vitesse



➤ Expression de la période

Généralisation : rayon R remplacé par $\frac{1}{2}$ gd-axe a

$$\frac{T^2}{a^3} = \frac{4\pi^2}{GM_s}$$



4.4 Lois de Kepler

➤ Historique

observations astronomiques de T Brahe, J Kepler

➤ Lois de Kepler :

- **1^{ère} loi** : Dans le référentiel de Kepler, la trajectoire de la planète P est une **ellipse** dont le Soleil S est un des foyers (demi-grand axe a et période T).
- **2^{ème} loi** : Le vecteur position balaye des **aires égales en des temps égaux** (**loi des aires**)
- **3^{ème} loi** : **Période de révolution T**
 M_S est la masse du Soleil

$$\frac{T^2}{a^3} = \frac{4\pi^2}{GM_S}$$

4.5 Étude des satellites terrestres

4.5.1 Caractéristiques du mouvement

- Mvt satellite
- Lois de Kepler

[1] C. Bonnal, F. Alby, Les débris spatiaux, *Pour la Science*, n°369, p. 82-89, Juillet 2008

4.5.2 Orbite géostationnaire

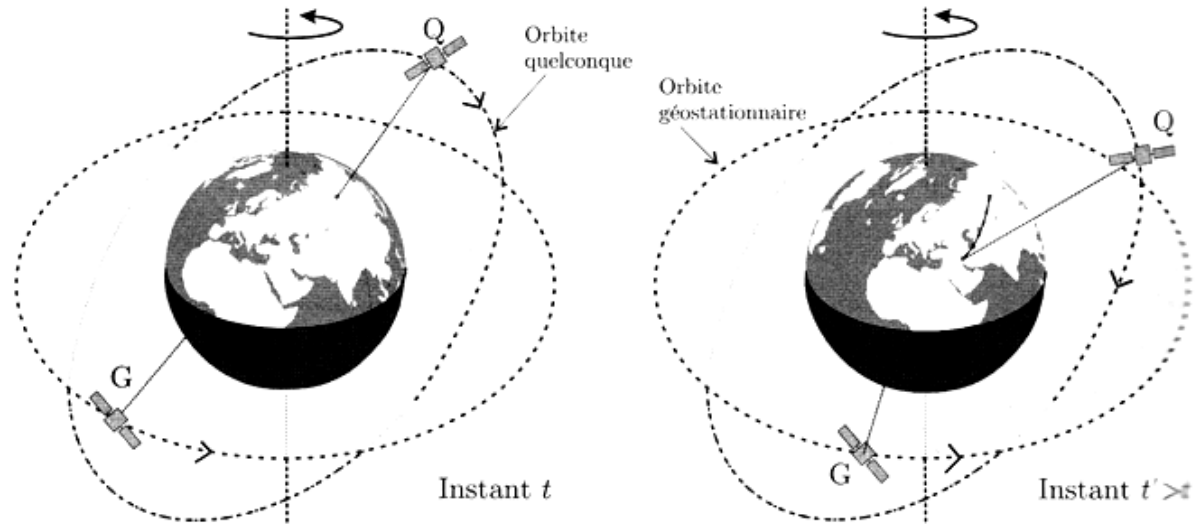


FIGURE 8 : Trajectoires d'un satellite G en orbite géostationnaire et d'un satellite Q en orbite quelconque

➤ Définition

➤ Propriété

➤ Vitesse angulaire

➤ Altitude de l'orbite géostationnaire

